

Строгое разграничение нелинейных волновых процессов на взаимодействия и самовоздействия справедливо лишь для плоских монохроматич. волн, для к-рых самовоздействия проявляются как самоиндуциров. изменения поглощения и фазовой скорости волны. Для реальных модулированных во времени и пространстве световых волн эта классификация условна. Самовоздействия волновых пакетов и пучков в кубичной среде (самоиндуциров. изменения формы модуляции) обусловлены четырёхфотонными взаимодействиями разл. компонент частотного и угл. спектров, продольными и поперечными взаимодействиями. Однако термины «взаимодействия» и «самовоздействия» широко используются и для модулиров. волн. В совр. Н. о. говорят о взаимодействиях, имея в виду взаимодействия волн с сильно различающимися частотами — процессы типа генерации гармоник, суммарных и разностных частот, параметр. усиления и параметр. генерации. Нелинейные преобразования частотного и угл. спектров квази-монохроматич. квазиплоских волн в средах с нечётными по полю нелинейностями относят к самовоздействиям.

Дело не только в терминологии, существенно различаются теоретич. подходы, физ. образы, используемые при исследовании взаимодействий и самовоздействий. В описании взаимодействий первоочередной интерес представляет динамика распределения энергии по спектру, а в описании самовоздействий главное — поиски автомодельных решений, стационарных волн, неустойчивостей и т. п.

Приближённые уравнения нелинейной геометрической оптики; связанные волны. Для большинства практически интересных задач Н. о. ур-ние (18) можно упростить, пользуясь методом медленно меняющихся амплитуд. Для плоских волн, распространяющихся в слабонелинейной среде,

$$E = \sum_n E_n = \sum_n e_n A_n(t, r) \exp i(\omega_n t - \mathbf{k}_n r), \quad (19)$$

в первом приближении теории дисперсии полагая, что комплексные амплитуды  $A_n$  медленно изменяются на длине волны  $\lambda_n$  и периоде  $T_n = 2\pi/\omega_n$ , вместо (6), (18) получаем систему  $n$  связанных ур-ний 1-го порядка

$$S_n [e_n [\mathbf{k}_n e_n]] \frac{\partial A_n}{\partial t} + [e_n [\mathbf{k}_n e_n]] \nabla A_n + (e_n \hat{\alpha} e_n) A_n + P_{нл}(\omega_n) f_n(r) = 0, \quad (20)$$

где  $P_{нл}(\omega_n)$  — спектральные компоненты нелинейной поляризации на частоте  $\omega_n$ ;  $\hat{\alpha}$  — тензор, описывающий потери в среде;  $S_n$  — лучевой вектор;  $f_n(r)$  — фактор, описывающий интерференцию свободных и вынужденных волн.

Дифракция, дисперсионное расплывание волновых пакетов. Наиб. адекватна нелинейным задачам конговская трактовка дифракции (см. Дифракция волн). Её матем. аппарат никак не связан с принципом суперпозиции и базируется на параболич. ур-нии для комплексной амплитуды (см. Волны), описывающем «поперечную» диффузию поля, что тесно связано с методом медленно меняющихся амплитуд.

Системой связанных параболич. ур-ний

$$[e_n [\mathbf{k}_n e_n]] \nabla A_n + \frac{i}{2} \Delta_1 A_n + (e_n \hat{\alpha} e_n) A_n + P_{нл}(\omega_n) f_n(r) = 0 \quad (21)$$

описывается распространение монохроматич. волновых пучков в нелинейной среде. Аналогичные по структуре ур-ния описывают и взаимодействия плоских волновых пакетов в нелинейной диспергирующей среде. Во втором приближении теории дисперсии, рассматривая для простоты плоский пакет в изотропной среде, получим параболич. ур-ние вида

$$\frac{\partial A}{\partial z} - \frac{i}{2} \frac{\partial^2 k}{\partial \omega^2} \cdot \frac{\partial^2 A}{\partial \eta^2} + \hat{\alpha} A_n + P_{нл}(\omega_n) f_n(z) = 0, \quad (21a)$$

где  $\eta = t - z/u$ ,  $u$  — групповая скорость пакета.

Локальные и накапливающиеся нелинейные эффекты. В протяжённой среде, характерный размер к-рой существенно превышает длину волны, эффективность нелинейного взаимодействия определяется величиной локального нелинейного отклика (величиной  $\sim \chi^{(2)} E$  в квадратичной среде и  $\chi^{(3)} E^2$  — в кубичной) и условиями интерференции свободных и вынужденных волн.

Сильные нелинейные взаимодействия (сильный энергообмен между взаимодействующими волнами) удаётся получить и в слабонелинейной среде, в к-рой  $\chi^{(2)} E \ll 1$ ,  $\chi^{(3)} E^2 \ll 1$ . Малость локального нелинейного отклика компенсируется организацией накапливающихся взаимодействий. Последнего можно добиться за счёт подбора дисперсионных свойств среды. Пример этого — генерация 2-й оптич. гармоники в двулучепреломляющем кристалле. В приближении геом. оптики система связанных ур-ний (20) сводится к двум ур-ниям 1-го порядка для амплитуд осн. волны  $A_1$  и 2-й гармоники  $A_2$  (без учёта потерь):

$$\begin{aligned} \frac{\partial A_1}{\partial z} + \frac{1}{u_1} \frac{\partial A_1}{\partial t} &= -i\beta_1 A_2 A_1^* \exp(i\Delta k z); \\ \frac{\partial A_2}{\partial z} + \frac{1}{u_2} \frac{\partial A_2}{\partial t} &= -i\beta_2 A_1^2 \exp(-i\Delta k z). \end{aligned} \quad (22)$$

Здесь  $u_1, u_2$  — групповые скорости,  $\beta_1 = 2\pi(e_1 \hat{\chi}^{(2)} e_2 e_1) \omega^2 / k_1 c^2$ ,  $\beta_2 = \pi(e_2 \hat{\chi}^{(2)} e_1 e_1) \omega^2 / k_2 c^2$  — коэф. нелинейной связи, ось  $z$  направлена вдоль  $\mathbf{k}_1$ ,  $A_i = \rho_i \exp(i\varphi_i)$ . Расстройка волновых векторов  $\Delta k = k_2 - 2k_1$  определяет картину интерференции свободной (волновое число  $k_2$ ) и вынужденной (волновое число  $2k_1$ ) волн. Генерация гармоники наиб. эффективна в условиях фазового и группового синхронизма, когда

$$\Delta k = 0; \quad u_1 = u_2. \quad (23)$$

Тогда для вещественных амплитуд  $\rho_1, \rho_2$  из (22) получаем ( $\beta_1 = \beta_2 = \beta$ ):

$$\begin{aligned} \rho_1(\eta, z) &= \rho_{10}(\eta) \operatorname{sech}(\beta \rho_{10} z), \\ \rho_2(\eta, z) &= \rho_{10}(\eta) \operatorname{th}(\beta \rho_{10} z). \end{aligned} \quad (24)$$

Графики решений (20), (24) представлены на рис. 4(a); видно, что при выполнении условия (23) вся энергия основной волны переходит в гармонику, реализуется накапливающееся взаимодействие; оптич. удвоитель частоты

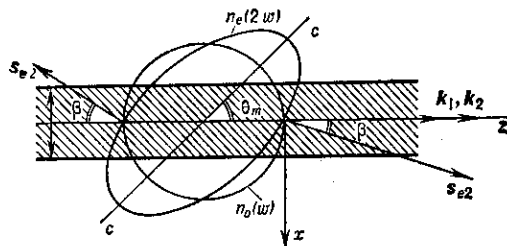
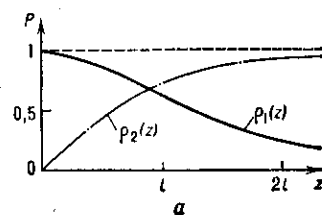


Рис. 4. Удвоение частоты света: а — пространственное изменение вещественных амплитуд  $\rho_1, \rho_2$  в условиях фазового синхронизма; б — схема реализации условий фазового синхронизма в двулучепреломляющем кристалле. Приведены сечения поверхностей показателя преломления для обыкновенной  $n_0(\omega)$  и не-обыкновенной  $n_e(2\omega)$  волн.

обладает кнд  $\sim 100\%$ . Если же расстройка  $\Delta k$  велика, быстро осциллирующий член в правых частях уравнений (22) практически полностью подавляет